



Shift and broadening investigation of Raman active phonons of TiO_2 nanocrystallites at high temperatures

A. Shirpaei, R. Malekfar*

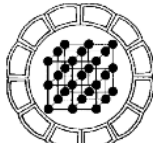
Physics Department, Faculty of Basic Sciences, Tarbiat Modares University, Tehran

(Received: 30/12/2008, in revised form: 21/6/2009)

Abstract: TiO_2 nanocrystallites in rutile phase with 68 nm dimensions have been synthesized by sol-gel technique. The structure and particle sizes have been determined by X-ray diffraction and SEM characterizations. Different factors in the rutile phase broadenings and shifts of the Raman modes at different temperatures, especially at high temperatures, have been studied. The effect of particle size, non-stoichiometric effect, surface pressure and anharmonic phonon-phonon coupling have been considered and investigated.

Keywords: *Raman spectroscopy, high temperature, nanocrystallite, SEM, TiO_2 , rutile phase, phonon – phonon coupling.*

* Corresponding author, Tel.: +98 (021) 82883440, Fax:+98 (021) 82883460, E-mail: Malekfar@Modares.ac.ir



بررسی جابه‌جایی و پهن‌شدگی فونون‌های حساس به رامان نانو بلورهای TiO_2 در فاز روتایل در دماهای بالا

علی شیرپایی، رسول ملک فر*

گروه فیزیک اتمی و مولکولی، بخش فیزیک، دانشکده علوم پایه، دانشگاه تربیت مدرس- تهران

(دریافت مقاله: ۸۷/۹/۱۰، نسخه نهایی: ۸۸/۳/۱)

چکیده: بلورهای نانویی دی‌اکسید تیتانیوم (TiO_2) در فاز روتایل با ابعاد ۶۸nm به روش محلولی - ژله‌ای تهیه، و ساختار و اندازه بلورک‌ها به روش پراش XRD و SEM تعیین شدند. عوامل مختلف در پهن‌شدگی و جابه‌جایی مدهای رامان در فاز روتایل و در دماهای مختلف به ویژه در دمای بالا مورد بررسی قرار گرفت و تاثیر اندازه ذره، تاثیر نبود موازن‌هه عنصری، فشار سطحی و جفت‌شدگی فونون - فونون ناهماهنگ علل پهن‌شدگی و جابه‌جایی مدهای رامان شناخته شده و میزان جفت‌شدگی فونون - فونون مورد بررسی قرار گرفته است.

واژه‌های کلیدی: طیف سنجی پس‌پرآکنده‌گی رامان، محلولی - ژله‌ای، دمای بالا، نانوبلور، میکروسکوپ الکترونی روبشی، دی‌اکسید تیتانیوم، فاز روتایل، جفت‌شدگی فونون - فونون.

مقدمه
بین این بلور در فازهای آناتاز و روتایل در تقارن اتم‌های اکسیژن و نیز در قطبش یون‌های اکسیژن آن‌هاست. نبود موازن‌هه عنصری (nonstoichiometry) باعث ایجاد مکان‌های خالی Ti^{3+} می‌شود که در خاصیت فتوکاتالیستی نقش مهمی دارند. از جنبه‌های مهم کاربرد فتوکاتالیستی TiO_2 حضور یون‌های اشباع نشده Ti^{3+} در ساختار بلوری است. این یون‌ها با تمایل در سمتگیری اضافی، و مکان‌های خالی Ti^{3+} نقش مهمی در اکسایش نوری گونه‌های آلی با استفاده از خاصیت فتوکاتالیستی TiO_2 را دارند [۸]. بلور TiO_2 در شرایط متعارف دارای سه فاز آناتاز، روتایل و بروکیت است. فاز روتایل تقارن چهاروجهی ساده و به گروه فضایی $P4_2/mnm$ وابسته است [۹]. عوامل مختلفی در پهن‌شدگی و جابه‌جایی مدهای رامان شناخته شده‌اند که خاستگاه این پهن‌شدگی‌ها و جابه‌جایی‌ها را می‌توان به صورت زیر تشریح کرد:

نانوبلورهای TiO_2 در فازهای مختلف کاربردهای زیادی در سلول‌های خورشیدی، حسگرها [احساسگر]، خود تمیزکنندها، محیط زیست، رنگدانه‌ها و کاتالیست‌های نوری دارند [۵-۱۱]. به خاطر بالا بودن نسبت سطح به حجم، نانوبلورها کاربردهای متنوعی دارند برای مثال از دی‌اکسید تیتانیوم خصوصاً در فاز روتایل به عنوان رنگدانه‌ها استفاده می‌شود [۵]. در کاتالیست‌های نوری از دی‌اکسید تیتانیوم در فاز آناتاز، به لحاظ فعالیت نوری مناسب برای مولدهای بر پایه فتوکاتالیست‌ها استفاده می‌شود که دلیل آن بیشتر بودن انرژی تراز فرمی فاز آناتاز در حدود ۰.۱ eV نسبت به فاز روتایل است [۶]. مخلوط ۷۰٪ دی‌اکسید تیتانیوم در فاز آناتاز و ۳۰٪ دی‌اکسید تیتانیوم در فاز روتایل بهترین فتوکاتالیست برای اکسیدهای آلی در تصفیه آب‌های آلوده شناخته شده است [۷]. یکی از تفاوت‌های اساسی

* نویسنده مسئول، تلفن: ۰۲۱ ۸۲۸۸۳۴۶۰، نمایش: ۰۲۱ ۸۲۸۸۳۴۴۰، پست الکترونیکی: Malekfar@Modares.ac.ir

که در آن Γ_0 پهنهای خط رامان در دمای اتاق است (برای بلور در فاز آناتاز $d = 7\text{cm}^{-1}$ ، $\Gamma_0 = q(\omega)$ بسامد فونونی واپسی به q است. حال پهن‌شدگی جابه‌جایی قله رامان را می‌توان با انتگرال‌گیری در ناحیه بربیلیونی در معادله (۲) بررسی و در نهایت محاسبه کرد [۱۱].

۲- جابه‌جایی مدهای رامان را می‌توان به خاطر محل‌های خالی اکسیژن دانست. محل مدهای رامان با اندازه بلورک‌ها و نیز در آزمایش‌های مختلف متفاوت است. نبود موازن‌های عنصری بودن شدیداً خواص ارتعاشی شبکه را تحت تأثیر قرار می‌دهد و تغییر شکل خطوط رامان را در اکسیدها تشید می‌کند. وقتی نمونه‌ها نقص شبکه‌ای داشته باشند، خطوط رامان ضعیف و پهن می‌شوند [۱۲]. پارکر و همکارانش پس از تهیه نانوبلورک‌ها دی اکسید تیتانیم در محیط فاز گازی، موازن‌های عنصری آن‌ها را در گسترده‌ای از $\text{TiO}_{1.89}$ به TiO_2 مشاهده کردند. در نمونه‌های دی اکسید تیتانیم، با کمبود اکسیژن پدیده نبود. موازن‌های عنصری در زمان گرمادهی در هوا مشاهده می‌شود. پایداری نمونه‌های نبود موازن‌های عنصری، با جذب نور و در نتیجه ایجاد پدیده برانگیختگی در فاز روتایل و شکل گیری محل‌های خالی اکسیژن، کاهش می‌یابد. پارکر جابه‌جایی تمامی مدهای رامان با افزایش نبود موازن‌های عنصری را گزارش نداده است. او معتقد است که جابه‌جایی یکسانی برای مدها رخ می‌دهد و اثرهای ناشی از اندازه بلور و نبود موازن‌های عنصری به یک اندازه کوچک رخ می‌دهد و اثر اندازه کوچک ذره در مقایسه با اثر نبود موازن‌های عنصری ناچیز مشاهده می‌شود [۱۳]. زمانی که نمونه‌ها در اثر شرایط محیطی آرام آرام با مکث‌های موقت رشد داده می‌شوند، انتظار می‌رود ساز و کار رشد بلورک‌ها در اثر افزایش دما رخ دهد و باریک شدگی پهنهای خطوط در پراش پرتو ایکس انجام شود. پدیده یاد شده برگشت‌ناپذیر بوده و برای بلورک‌ها کوچک نزدیک به حالت کروی با افزایش فشار، سطح بلورک‌ها نیز تغییر خواهد کرد. فشار سطحی در سطح جامدات قابل توجه بوده و در ارتباط با انرژی آزاد سطح که بخش مهمی از انرژی آزاد کل بلورک‌ها در ابعاد نانو را تشکیل می‌دهد. انرژی آزاد سطح به عنوان کار برگشت‌ناپذیر در واحد سطح تعریف می‌شود که شامل شکل‌گیری سطح جدید مواد است.

۱- بزرگ شدن اندازه بلورک‌ها با افزایش دما برای یک نانوبلور به اندازه x "بلور نامحدود" نقش انتخاب فضای k با سرنشی معکوس‌اش با یک عدم قطعیت از مرتبه $1/x$ قابلیت جابه‌جایی دارد. در اینجا k بردار موج فونون است که جایگزین مد 0 در شاخه‌ای از فونون رامان فعال (برای مدهای فعال رامان متقارن) می‌شود. اکنون همه مدهای فونون در یک گستره k (از $k = 0$ تا $k = 1/x$) دارای مدهای فعال‌اند. نانو بلورک‌ها TiO_2 بارها به وسیله طیف سنجی رامان به خاطر پهن‌شدگی و جابه‌جایی‌های غیر معمول مدهای طیف رامان در اثر کاهش اندازه بلورک‌ها مورد بررسی قرار گرفته‌اند. با مقایسه طیف‌های رامان سعی بر تشریح این جابه‌جایی‌ها با حبس فونونی شده است. بر اساس اصل عدم قطعیت هایزینبرگ، ارتباط بین اندازه بلورک‌ها و مکان را می‌توان به صورت رابطه زیر بیان کرد:

$$\Delta X \Delta P \geq \frac{\hbar^2}{4} \quad (1)$$

که ΔX اندازه ذره و ΔP توزیع تکانه فونون و \hbar ثابت پلانک است. با کاهش اندازه ذره، فونون حبس می‌شود و تکانه فونون افزایش می‌یابد. بنابر قانون پایستگی تکانه پهن‌شدگی تکانه فونون منجر به پهن‌شدگی تکانه فونون پراکنده شده می‌شود. توزیع فونون سبب پهن‌شدگی نامتقارن و جابه‌جایی طیف رامان می‌شود. اگر ارتباط پراکنده فونون شاخته شود امکان برآورده اندازه بلور از پهن‌شدگی و جابه‌جایی رامان ممکن خواهد بود [۱۰]. حبس فونونی در از بین رفتتن قانون انتخاب تکانه فونون $q \approx 0$ نقش دارد. در بلورهای نانویی این قانون معتبر نیست زیرا فونون‌ها از نظر فضایی محدود و در تمام منطقه بریلیون تاثیر دارند. در جایی که فونون‌ها شدیداً محدودند، فقط تعدادی از اتم‌های کوچک در بخش مرکزی کره می‌توانند ارتعاش کنند. پراکنده فونون‌ها سبب پهن‌شدگی نامتقارن و جابه‌جایی خطوط رامان می‌شود. برای بلورهای نانویی کروی و پراش مرتبه اول، شدت رامان، $I(\omega)$ را می‌توان اینگونه نوشت:

$$I(\omega) = \int \frac{|C(0, q)|^2 d^3 q}{BZ [\omega - \omega(q)]^2 + (\Gamma_0/2)^2} \quad (2)$$

$$|C(0, q)|^2 = \exp\left(-\frac{q^2 d^2}{16\pi^2}\right) \quad (3)$$

دست آمده در دمای 100°C گرما داده شد و به پودر زرد رنگ TiO_2 با ابعاد نانویی بدست آید. نانو پودرهای به دست آمده به مدت ۲ ساعت آسیاب شدند که این کار نقش مهمی در اندازه بلورک‌ها نانویی دارد. برای بررسی جابه‌جایی و پهن‌شدگی، طیفهای پس‌پراکندگی رامان بلورک‌ها نانویی TiO_2 در دماهای بالای نمونه در فاز روتایل را که در دمای 950°C تکلیس شده بودند انتخاب و به شکل قرص درآورده و با چیدمان خاصی طیف سنجی پس‌پراکندگی رامان در دماهای مختلف (از دمای اتاق تا 1050°C) انجام شد. قرص‌های تهیه شده از بلورک‌ها نانویی به شعاع تقریبی 0.5 cm^{-1} در محفظه دایره‌ای تعییه شده روی قالب با جنس مناسب که تحمل دماهای بالاتر را داشت به گونه‌ای گذاشته می‌شود که بتوان پرتو لیزری دستگاه رامان را از روزنۀ تعییه شده از بدنۀ کورۀ با دمای بالا در وضعیت تعادل دمایی نمونه و محفظه روی قرص تاباند. چون روزنۀ ایجاد شده برای تابش پرتو لیزر روی قرص حدود 1 cm است. فقط در صدی از زاویۀ فضایی پرتوهای حدود 1050°C است. نمونه‌هایی که از نظر فضایی محدود نیستند کمتر است. طیف‌های پس‌پراکندگی رامان از درون کوره در محل نمونه قرص هم‌زمان با بالا بردن دما از دمای اتاق تا 1050°C ثبت شد. برای وارد نشدن نورهای محیط آزمایشگاهی در چیدمان آزمایشی، از پارچۀ ضخیمی استفاده شد که بین دستگاه رامان و کوره قرار داده شد تا حتی الامکان از وارد شدن یا تداخل نورهای مزاحم با نورهای پراکنده شده لیزری جلوگیری شود. سامانه نمایش دمای کوره و نمونه را با بکارگیری یک ترموموکوپل تا دماهای بالا به صورت عددی روی صفحه مخصوص نشان داده و با افزایش دما و ایجاد شرایط تعادل دمایی از محل نمونه طیف پس‌پراکندگی رامان ثبت و شد.

بحث و بررسی

نانو پودرهایی تهیه شده در فاز روتایل به وسیله پراش سنج پرتو X تولیدی شرکت فیلیپس مدل XPert 1480 مورد بررسی قرار گرفتند. در شکل ۱ الگوهای پراش XRD برای نمونه تکلیس شده تا دمای مورد نظر برای تشکیل فاز در دمای 950°C ارائه شده است. الگوهای پراش ضبط شده وجود فاز

بنابراین اثرهای حبس فونونی و نبود موازنۀ عنصری و نیز فشار سطحی در تشریح تغییر مدهای رامان می‌باشی در نظر گرفته شوند. برای بررسی پهن‌شدگی و جابه‌جایی مدهای رامان در این مقاله پس از تهیه نانوبلورک‌ها TiO_2 به روش محلولی - ژله‌ای در فاز روتایل به بررسی آن‌ها با استفاده از پراش XRD و عسکبرداری SEM پرداخته و نقش جفت‌شدگی فونون - فونون و عوامل موثر در پهن‌شدگی و جابه‌جایی مدهای رامان بلورک‌ها نانویی TiO_2 با استفاده از طیفسنجی پس‌پراکندگی رامان با افزایش دما مورد بررسی قرار گرفته است.

روش بررسی

برای تولید پودر نانویی TiO_2 به روش محلولی - ژله‌ای از چهار ماده تترابوتیل تیتانیت₄ Ti(OBu)_4 به عنوان ماده اصلی، اتانول به عنوان حلال و اسید کلریدریک و آب به عنوان کاتالیزور واکنش استفاده شده است. نقش مهم در به وجود آمدن ساختارهای نانویی بهین، تعیین دقیق نسبت‌های مولی به کار گرفته شده از این مواد است. بهترین ساختار برای بلورهای نانویی TiO_2 با نسبت‌های مولی زیر انتخاب شدند، [۱۰]:



واکنش هیدرولیز یاد شده و غلیظشدن در محیط آبی و در دمای اتاق انجام شد. در این کار پژوهشی با اضافه کردن قطره قطره Ti(OBu)_4 به اتانول به نسبت تعیین شده در شرایط بهم زدن شدید، محلول شفافی در نهایت به دست آمد. سپس اسید کلریدریک که با آب دوبار یونیده رقیق شده بود به عنوان کاتالیزور واکنش، به محیط اضافه و چسبندگی و غلظت محلول را افزایش داد. در این کار میزان آب سبب تسریع واکنش شد، و نیز زمان تبدیل شدن محلول به ژل را کاهش می‌دهد، ولی به شدت موجب افزایش اندازه بلورک‌ها می‌شود. به همین دلیل اگر از آب دو بار یونیده شده در همان اسید کلریدریک رقیق شده 12.5% استفاده کنیم، اندازه بلورک‌ها به مراتب نسبت به حالتی که آب را به طور مستقیم در واکنش بکار ببریم کوچکتر خواهد شد. به همین دلیل در این واکنش، آب به همراه اسید کلریدریک به صورت رقیق شده استفاده شد. محلول بدست آمده به مدت ۲۰ ساعت در دمای اتاق در شرایط آزمایشگاه نگهداشته شد و پس از گذشت این زمان محلول اولیه به ژل شفافی تبدیل شد. سپس برای مدت ۲ ساعت ژل به

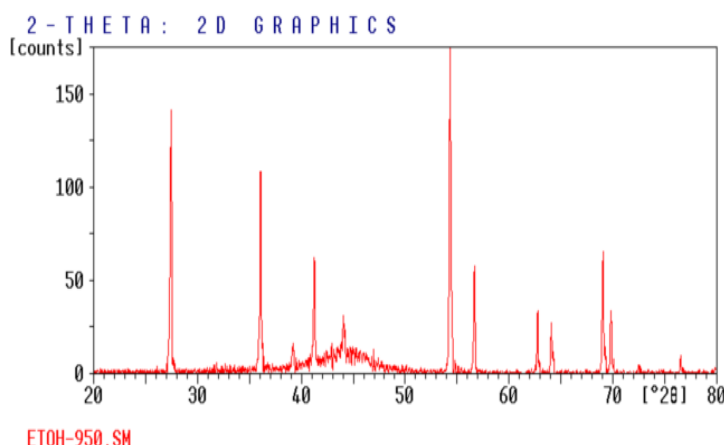
مکعبی در فاز روتایل نانوبولورها پیش می‌روند. اندازه متوسط بلورک‌ها برای فاز روتایل 85nm به دست آمد که به خوبی با نتایج محاسبه شده با فرمول $\text{دبای} - \text{شرر همخوانی}$ دارد. البته ناهمخوانی در نتایج به دست آمده برای اندازه بلورک‌ها به روش XRD و SEM را می‌توان به خاطر اصول فیزیکی و حساسیت XRD در پراش XRD بلورک‌ها و شکل SEM توضیح داد. در XRD حجم قابل ملاحظه‌ای از نمونه بلوری پراش آشکارسازی می‌شود در حالی که در عکس برداری SEM مساحت به مراتب کوچکتری از سطح بلور بررسی می‌شود. با توجه به اینکه از پهن‌شدگی و جابه‌جایی مدهای رامان می‌توان به رفتار نانوبولورک‌ها TiO_2 و تغییر ساختار آن پی برد، لذا از نمونه‌های تهیه شده در درون کوره و در محل آنها همزمان با افزایش دما طیفسنجی رامان انجام گرفت. یک نمونه از طیف‌های نوعی ضبط شده برای فاز روتایل در شکل ۳ نشان داده شده است.

خالص روتایل را نشان می‌دهد. با استفاده از فرمول $\text{دبای} - \text{شرر}$ به صورت زیر [۱۴]:

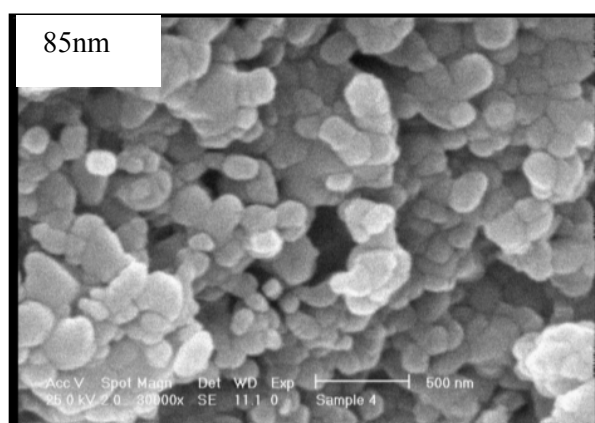
$$D = k\lambda/\beta \cos\theta \quad (1)$$

اندازه بلورک‌ها در فاز روتایل برابر 82 nm به دست آمد. پهن‌شدگی خطوط پراش مناسب با $1/\cos\theta$ است در حالی که پهن‌شدگی به خاطر کشیدگی مناسب با $\tan\theta$ است. سهم پهن‌شدگی به خاطر کشیدگی در زوایای کوچک برآگ کمتر از اندازه بلورک‌ها است. در برآورد اندازه بلورک‌ها با استفاده از معادله دبای - شرر سهم کشیدگی که ناچیز است در نظر گرفته نمی‌شود، لذا اندازه بلور کوچکتر از مقدار واقعی خواهد بود، [۱۵].

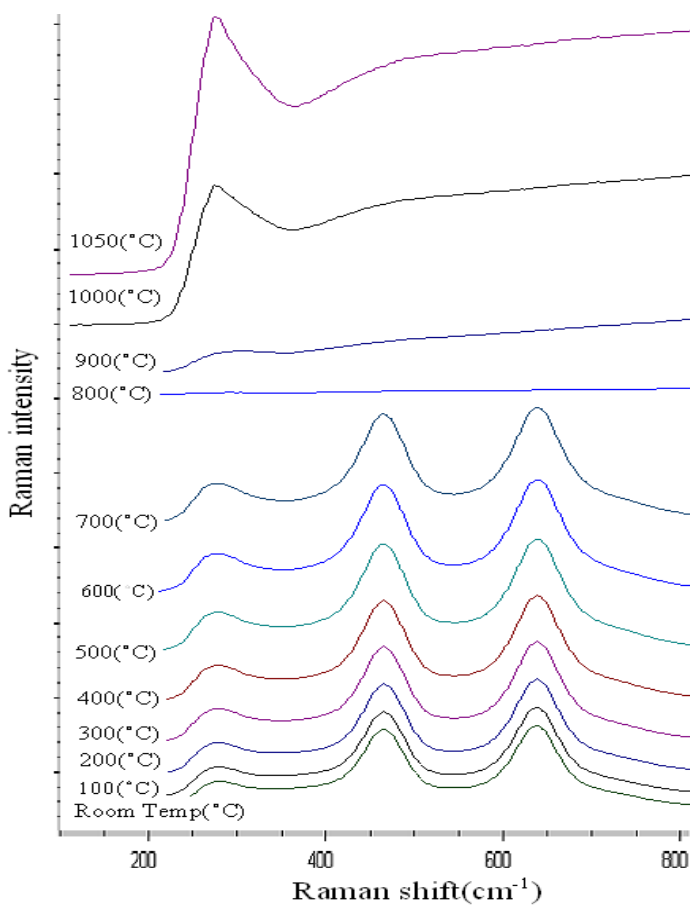
از طرف دیگر تصاویر به دست آمده با SEM نمونه‌های تولید شده که یک تصویر از آنها در شکل ۲، شکل بلورک‌ها و اندازه آنها را به خوبی نشان می‌دهد. با بالا رفتن دما، اندازه بلورک‌ها بزرگتر شده و از حالت کروی در فاز آناتاز به سمت



شکل ۱ الگوی پراش XRD نمونه تولید شده در فاز خالص روتایل در دمای 95°C .



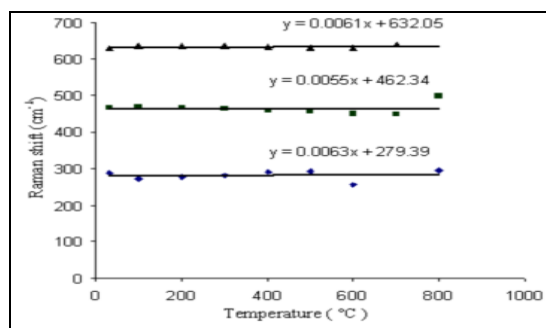
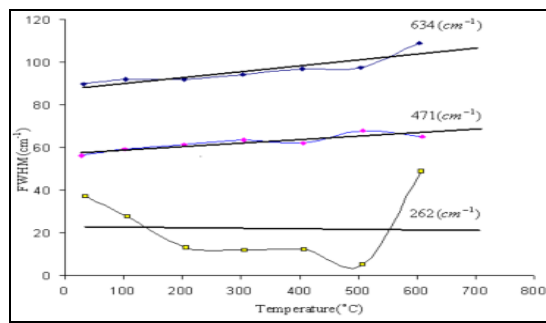
شکل ۲ تصویر و اندازه فاز روتایل در 95°C بلورهای نانویی TiO_2



شکل ۳ طیف‌های پسپراکندگی رامان فاز روتایل TiO_2 در دماهای مختلف در گستره دمای اتاق تا 1050°C .

در نظر گرفتن انتقال‌های فازی از فاز آناتاز به فاز بروکیت و در نهایت به فاز روتایل به طور خاص می‌بایستی بررسی شود. اطلاعات بدست آمده در زمینه پهنه‌شدنی و جابه‌جایی مدها در نمونه روتایل TiO_2 از محل نمونه‌ها، که همزمان همراه با افزایش دمای روتایل نشان می‌دهد که شدیدترین قله فاز روتایل در 629 cm^{-1} در دمای اتاق با افزایش دما به سمت اعداد موجی بالاتر جابه‌جا خواهد شد. در دمای 200°C این قله به مقدار 466 cm^{-1} و در 640 cm^{-1} جابه‌جا می‌شود. در حالی که مدد $448/1\text{ cm}^{-1}$ در 800°C به 282 cm^{-1} و مدد 262 cm^{-1} در 295°C جابه‌جا خواهد شد. قله 262 cm^{-1} فاز روتایل در دمای اتاق به سمت اعداد موجی بالاتر جابه‌جا شده که احتمالاً بخاطر خاصیت بس فونونی است. از روی پهنه شدنی برای مدهای مختلف و پی بردن به افزایش ارتعاش‌های هر مد می‌توان تغییر ساختار آن فاز را بررسی کرد. رفتار جابه‌جایی مدهای مختلف فاز روتایل در شکل ۴ و تغییرات آن‌ها در شکل ۵ ارائه شده‌اند.

طیف سنجی پسپراکندگی رامان بلورها در آزمایشگاه طیف سنجی با دستگاه طیف سنج پاشنده رامان ساخت کارخانه Almega Thermo Nicolet 4300 cm^{-1} در بازه ۲ بر نمونه‌های درون کوره و در دماهای بالاتر از دمای اتاق انجام شد. با بررسی طیف‌های پسپراکندگی رامان ضبط شده مشاهده می‌شود که پهنه‌ی قله‌ها با افزایش دما افزایش یافته و در بالای 1050°C تقریباً ناپدید می‌شوند. در بررسی طیف‌های رامان و نقش اندازه بلورک‌ها در جابه‌جایی قله‌ها رامان مشاهده می‌شود که با بزرگتر شدن اندازه بلورک‌ها جابه‌جایی ۳ به سمت عدد موج‌های کوتاه‌تر صورت می‌گیرد. از شکل پیداست که همه قله‌های رامان فاز روتایل با افزایش دما جابه‌جا و پهنه می‌شوند. در شبکه فازهای آناتاز و روتایل TiO_2 دماهای بالاتر ارتعاش‌های بین پیوندهایی همچون $\text{Ti}-\text{O}-\text{Ti}$ و $\text{Ti}-\text{O}-\text{Ti}$ نسبت به قرارگیری آن‌ها در ساختار شبکه وجود دارد. این موضوع با توجه به ساختار خاص TiO_2 و نیز با

شکل ۴ جابه‌جایی مدهای رامان در فاز روتایل نانوبلورک‌ها TiO_2 با افزایش دما.

شکل ۵ نمودار تغییرات FWHM بر حسب دما برای مدهای مختلف فاز روتایل با افزایش دما.

آزمایشی، سهم خالص دما و حجم در جابه‌جایی بسامد به عنوان تابعی از دما را محاسبه کرد. شناختن خاستگاه جابه‌جایی بسامد های مختلف مدهای رامان با افزایش دما را می‌توان با نظریه دینامیک شبکه بلورهای نامتقارن رده‌بندی کرد. گرچه بحث جزئیات دینامیک شبکه ناهماهنگ بسیار پیچیده و شامل روش‌های نظریه چند ذره‌ای است، ولی می‌توان یک مدل تقریبی برای این هدف معرفی کرد. پیشنهاد می‌شود که توقیف فونونی و ابعاد نانویی روتایل و نیز فشار داخلی به صورت جداگانه مسئول پهن‌شدگی بیش از حد مدهای رامان در فشار خارجی باشد. رشد بلورک‌ها در دماهای بالا این دو اثر را کاهش خواهد داد. در نتیجه ابعاد هر ذره افزایش می‌یابد و انتظار کاهش مشابهی در پهنهای خطوط می‌رود. متقابلاً همزمان اثر دما در انبساط شبکه و اختلال گرمایی منجر به پهن‌شدگی خطوط خواهد شد. در نتیجه انتظار می‌رود در رقابت این دو اثر پهنهای خطوط تقریباً ثابت بماند. برای بررسی و محاسبات مربوط به جابه‌جایی و پهن‌شدگی طیف رامان، وابستگی دمایی آنها را مورد بررسی قرار می‌دهیم.

با فرض اینکه هر مدارتعاشی v تابعی از حجم (V) و دمای (T) باشد، وابستگی دمایی dv/dT در فشار ثابت را می‌توان به صورت زیر بیان کرد:

در طول افزایش دما شدت قله‌های مدهای مختلف تغییر می‌کند و به صورتی است که مدهای نمونه فاز روتایل بین دمای 750°C و 800°C دستخوش دگرگونی جدی شده و ناپدید می‌شوند. علت آن، این است که تصور می‌شود چون در این بازه انتقال به فاز روتایل صورت می‌گیرد، ارتعاش‌های درون بلور آنچنان زیاد می‌شوند که تمامی مدها بیش از اندازه پهن شده به طوری که نمی‌توان آن‌ها را از هم جدا کرد. تصور دوم آن است که چون طیفسنجی رامان با افزایش دما از محل نمونه‌ها انجام شده است، با افزایش دما در این بازه شاهد گسیل نور سرخ به خاطر افزایش دما از درون کوره هستیم که احتمال می‌رود این تابش‌ها روی فونون‌های پراکنده شده از روی نمونه تأثیرگذار باشد که در این بازه شاهد آن هستیم. در دماهای بالاتر از 1050°C نمونه شروع به تبخیر می‌کند و نمونه پس از سرد شدن تا دمای اتفاق در همان فاز روتایل باقی می‌ماند. چنانکه در از شکل‌ها دیده می‌شود، تمامی مدها با افزایش دما پهن و به صورت نامتقارن جا به جا می‌شوند. البته توافق کلی این دو عامل بیشتر مربوط به خود نانوبلورک‌ها و ویژگی‌های آن‌هاست. در بررسی و تحلیل طیف‌های رامان که به صورت داده‌های طیفی در اختیار داریم عوامل دیگری مانند جفت‌شدگی فونون - فوتون اپتیکی و فونون - فونون وجود دارند. وابستگی دمایی جابه‌جایی را می‌توان با برآش داده‌های

جایی Δ^4 مربوط به ناهمانگی مرتبه چهار وابسته و مثبت است. بنابراین نتیجه جابه‌جایی بسامد ناشی از برهم کنش فونون-فونون Δ^4 از نظر مقداری ممکن است منفی یا مثبت باشد که بستگی به جمله ناهمانگ در پتانسیل بین اتمی دارد. در مقایسه معادلات (۴) یا (۷) با (۹) باید توجه کرد که جمله اول در سمت راست معادله از اثر شبه هماهنگ یعنی جابه‌جایی بسامد ناشی از تغییر حجم $(\Delta V_p)_T = \Delta^E$ - به دست می‌آید. جمله دوم در سمت راست ناهمانگی ذاتی و مربوط به اثر مرتبه‌های بالاتر از مرتبه چهارم پتانسیل بین اتمی است، از این‌رو می‌توان نوشت: $(\Delta V_T)_V = \Delta^A$ [۱۶].

در برخی مراجع، بررسی رفتار جابه‌جایی و پهن‌شدگی مدهای بسامدی با بیانی متفاوت گفته شد که معادله درجه اول یا دوم را به رفتار جابه‌جایی مدنسبت به دما وابسته می‌دانند و عوامل جابه‌جایی و پهن‌شدگی را به صورت چند جمله‌ای بیان می‌کنند. در چنین حالتی جابه‌جایی بسامد یک مدد فونونی خاص را می‌توان به صورت زیر نوشت:

$$\omega = \omega_0 + aT \quad (10)$$

که ω_0 جابه‌جایی مدد رامان در صفر کلوین و a ضریب ثابت انبساط گرمایی است. وابستگی جابه‌جایی مدهای رامان بر حسب دما نتیجه مجموع دو عامل است که یکی تغییر در بسامدهای ارتعاشی ناشی از انبساط گرمایی و دیگری به خاطر جفت‌شدگی ناهمانگ فونون‌ها با دیگر فونون‌ها است. جابه‌جایی رامان بخش حقیقی خود انرژی فونون‌ها است که به شکل زیر نوشه شود:

$$\Omega(T) = \Omega_0 + \Delta^1(T) + \Delta^2(T) \quad (11)$$

که Ω_0 بسامد هماهنگ مدنوری، $\Delta^1(T)$ سهم انبساط گرمایی در جابه‌جایی خطوط رامان و $\Delta^2(T)$ ناشی از جفت‌شدگی ناهمانگ است. در این بیان $\Delta^1(T)$ نقش Δ^E رامان در $T = 0K$ است. در این حالت $\Delta^1(T)$ را می‌توان $\Delta^2(T)$ نقش Δ^A را دارند. در این حالت $\Delta^1(T)$ را می‌توان به صورت زیر نوشت:

$$\Delta^1(T) = \Omega_0 \left[\exp \left\{ -3\gamma \int_0^T \alpha(T') dT' \right\} - 1 \right] \quad (12)$$

که γ پارامتر گرونایشن (Grüneisen) مدهای رامان که یک پارامتر ترمودینامیکی مهم در بررسی اثر فشار و دما روی سرنشی‌های فیزیکی و شیمیایی مواد است و $\alpha(T)$ ضریب انبساط گرمایی خطی وابسته به دماست.

$$\beta = \left(\frac{\partial \ln V}{\partial T} \right)_P \quad (4)$$

که β ثابت انبساط گرمایی و برابر است بالا

$$k = - \left(\frac{\partial \ln V}{\partial P} \right)_T \quad (5)$$

و k ضریب تراکم‌پذیری است که به صورت زیر تعریف می‌شود:

$$\left(\frac{\partial \ln V}{\partial T} \right)_P = - \left(\frac{\beta}{k} \right) \left(\frac{\partial \ln V}{\partial P} \right)_T + \left(\frac{\partial \ln V}{\partial T} \right)_V \quad (6)$$

این معادله را می‌توان بر حسب وابستگی دمایی و فشار برای مدهای رامان بشکل زیر نوشت:

$$(\Delta V_T)_P = -(\Delta V_P)_T + (\Delta V_T)_V \quad (7)$$

که طرف اول تغییر V با افزایش دما (وابستگی دمایی) از صفر تا TK در فشار ثابت (بار) است و جمله اول در سمت راست بیانگر تغییر بسامد V ناشی از افزایش فشار در دمای ثابت T تا یک مقدار کافی P که سبب تغییر حجم یکسان به همان اندازه جمله سمت چپ معادله (۴) است. با قبول معادله (۵) این جمله را می‌توان از β و پارامتر گرونایشن (Gruniesen) به دست آورد:

$$\gamma = \frac{1}{k} \left(\frac{1}{V} \frac{\partial V}{\partial P} \right)_T \quad (8)$$

که وابستگی مدد به فشار را وارد می‌کند. جمله دوم در سمت راست معادله (۵) تغییر در بسامد V به خاطر دما از صفر تا TK در حجم ثابت (یعنی حجم بلور در صفر کلوین) است. پس معادلات (۴) و (۷) نشان می‌دهند که جابه‌جایی بسامد در فشار ثابت، یک سهم خالص حجمی و یک سهم خالص دمایی دارد. خاستگاه هر دوی این سهم‌ها در پتانسیل بین اتمی ناهمانگ است. جابه‌جایی بسامد Δ^A یک مدد فونونی خاص به خاطر ناهمانگی با پایین‌ترین مرتبه اختلال را می‌توان بدین حالت تفکیک کرد:

$$\Delta^2 = \Delta^E + (\Delta^3 + \Delta^4) \equiv \Delta^E + \Delta^A \quad (9)$$

که Δ^E بسامدهای مستقل غیر طبیعی نوسانگر هماهنگ در شبکه منبسط شده در نتیجه تغییر حجمی $\Delta V/V$ از انبساط دمایی است، و این معمولاً به سهم شبه هماهنگ نسبت داده می‌شود. در بیشتر جامدات $0 < \Delta^E$ است. جابه‌جایی بسامدها Δ^3 و Δ^4 ناشی از برهم کنش فونون-فونون و از پایین‌ترین مرتبه اثر پتانسیل بین اتمی درجه سوم و چهارم است. فرایند چند فوتونی بر حسب درجه سوم پتانسیل بین اتمی به جابه‌جایی بسامد منفی Δ^3 مربوط می‌شود، در حالی که جابه-

[Downloaded from ijcm.ir on 2025-07-31]

$$+M_2 \left[1 + \frac{3}{(e^y - 1)} + \frac{3}{(e^y - 1)^2} \right] \quad (15)$$

Ω_0 با استفاده از رابطه

$$\omega_0 = \Omega_0 + M_1 + M_2 \quad (16)$$

به دست می‌آید و ω_0 با برونویابی نمودار جابه‌جایی رامان بر حسب دما در نقطه $T = 0K$ به دست خواهد آمد.

$$\Gamma(T) = N_1 \left[1 + \frac{2}{e^x - 1} \right] + N_2 \left[1 + \frac{3}{e^y - 1} + \frac{3}{(e^y - 1)^2} \right] \quad (17)$$

برای بررسی رفتار جابه‌جایی و پهن‌شدگی مدهای بسامدی مختلف را می‌توان با استفاده از داده‌های آزمایشی و نسبت دادن معادله‌ای به آن و برونویابی معادلات (۱۳) و (۱۴) مقادیر M_1, M_2, N_1 و N_2 را محاسبه کرد که این مقادیر در جدول ۱

برای فاز روتایل آورده شده‌اند:

چنانکه مشاهده می‌شود M_2 در مقایسه با M_1 خیلی کوچک است. این نشان می‌دهد که فرایند چهار فونون در مرتبه بالاتر شرط لازم است با اینکه فرایند سه فونون نقش اساسی در سهم خالص دما در جابه‌جایی ناهمانگ خود انرژی را ایفا می‌کند. چنانچه جابه‌جایی بسامدی در یک گستره کمتر باشد می‌توان گفت وابستگی دمایی جابه‌جایی بسامد در آن مد به وسیله سهم خالص حجم تعیین شده و جفت‌شدگی ناهمانگ فونون‌های نوری با افزایش دما خیلی شدید شود.

برای برآورد عددی ناهمانگی ذاتی $(\frac{\partial Lnv}{\partial T})_V$ ، برای هر مد بارز فاز روتایل از وابستگی دمایی و فشاری مدها، بایستی جملات $(\frac{\partial Lnv}{\partial T})_P$ و $(\frac{\partial Lnv}{\partial P})_T$ به طور جداگانه محاسبه شوند. رفتار وابستگی دمایی فاز روتایل با استفاده از مقدارهای برونویابی از شکل ۴ به دست می‌آید که به شرح جدول ۲ است:

بخش جفت شدگی ناهمانگ (T) Δ^2 ناشی از بخش ناهمانگ مرتبه‌های سوم و چهارم در هامیلتونی (همان Δ^3 و Δ^4) به شکل زیر نوشته می‌شود:

$$\Delta^2(T) = M_1 \left\{ 1 + \sum_{i=1}^2 \frac{1}{(e^{x_i} - 1)} \right\} + M_2 \left\{ 1 + \sum_{j=1}^3 \left[\frac{1}{(e^{y_j} - 1)} + \frac{1}{(e^{y_j} - 1)^2} \right] \right\} \quad (13)$$

که M_1 و M_2 عدد ثابت و با برآذش معادلات و انتخاب $x_1 + x_2 = y_1 + y_2 + y_3 = \hbar\omega_0 / k_B T$ به دست می‌آیند. جمله اول مربوط به جفت‌شدگی فونون‌های نوری به دو فونون (فرایند سه فونون) و جمله دوم مربوط به جفت‌شدگی سه فونون و مرتبه بالاتر (فرایند چهار فونون) است. به طور مشابه پنهانی خطوط رامان را نیز می‌توان به صورت زیر نوشت:

$$\Gamma(T) = N_1 \left\{ 1 + \sum_{i=1}^2 \frac{1}{(e^{x_i} - 1)} \right\} \quad (14)$$

+ $N_2 \left\{ 1 - \sum_{j=1}^3 \left[\frac{1}{(e^{y_j} - 1)} + \frac{1}{(e^{y_j} - 1)^2} \right] \right\}$
در اینجا N_1 و y_i شبیه رابطه (۱۳) تعریف می‌شود و N_2 عبارتند از پارامترهای برآذش. پنهانی خطوط، $\Gamma(T)$ ، عموماً برابر با آهنگ میرایی فونون‌هاست که بخش موهومی خود انرژی است. معادله (۱۳) شبیه معادله (۱۴) است که جمله اول نظیر با فرایند سه فونون (واپاشی به دو فونون) و جمله دوم نظیر با فرایند چهار فونون (واپاشی به سه فونون) است. در فرایند برآذش معادلات، فرض شده است

$$x_1 = x_2 = 2\hbar\omega_0 / k_B T$$

$$y_1 = y_2 = y_3 = 3\hbar\omega_0 / k_B T$$

در محاسبه جابه‌جایی و پهن‌شدگی اول بخش انبساط گرمایی را در نظر گرفتیم که به صورت زیر است:

$$\gamma \int_0^T \alpha(T') dT'] + M_1 \left[1 + \frac{2}{e^x - 1} \right]$$

جدول ۱ پارامترهای برونویابی جابه‌جایی و پهن‌شدگی رامان در فاز روتایل TiO_2

مد	α	Ω_0	M_1	M_2	N_1	N_2
$E_g(829\text{cm}^{-1})$	۰,۰۰۶۱	۶۲۷,۶۸۱۵	۱,۳۱۸۸	-۰,۰۰۰۳	۰,۱۴۱۴	-۰,۰۰۰۰۳
$B_{1g}(288,2\text{cm}^{-1})$	۰,۰۰۶۳	۲۸۷,۹۶۸۱	۰,۲۳۱۹	-۰,۰۰۰۰۲	۰,۱۳۷۴	-۰,۰۰۰۰۳
$A_{1g}(466,3\text{cm}^{-1})$	۰,۰۰۵۵	۴۶۵,۶۸۷۴	۰,۶۱۲۷	-۰,۰۰۰۱	۰,۱۳۷۵	-۰,۰۰۰۰۳

جدول ۲ دما و فشار لگاریتمی به دست آمده برای مدهای رامان فاز روتایل برای محاسبه ناهماهنگی ذاتی.

مدهای روتایل	$E_g(629\text{cm}^{-1})$	$A_{1g}(4663\text{cm}^{-1})$	$B_{1g}(2887\text{cm}^{-1})$
$(\frac{\partial \ln \nu}{\partial T})_P (10^{-5} \times K^{-1})$	۹۶/۹۸	۱/۱۷۹	۲/۱۸

- [8] Madhu Kumar P., Badrinarayanan S., Sastry Murali, "Nanocrystalline TiO_2 studied by optical, FTIR and X-ray photoelectron spectroscopy: correlation to presence of surface states", Thin Solid Films 358 (2000) 122-130.
- [9] Gajovic A., Stubicar M., Ivanda M., Furic K., "Raman spectroscopy of ball-milled TiO_2 ", Journal of Molecular Structure 563-564 (2001) 315-320.
- [10] Choi Hyun Chul, Jung Young Mee, Kim Seung Bin, "Size effect in the Raman spectra of TiO_2 nanoparticle", Vibrational Spectroscopy 37 (2005) 33-38.
- [11] Zhu Ke-Rong, Zhang Ming-Sheng, Chena Qiang, Yina Zhen, "Size and phonon-confinement effects on low-frequency Raman mode of anatase TiO_2 nanocrystal", Physics Letters A 340 (2005) 220-227.
- [12] Zhang W. F., He Y. L., Zhang M. S., Yin Z., Chen Q., "Raman scattering study on anatase TiO_2 nanocrystals", J. Phys. D: Appl.Phys. 33 (2000) 912- 916.
- [13] Gonzalez Reinaldo J., "Raman, Infrared, X-ray and EELS Studies of Nanophase Titania, PhD Thesis", Virginia Polytechnic Institute and State University, Blacksburg, Virginia, July 26, 1996.
- [14] Du Y. L., Deng Y., Zhang M. S., "Variable-temperature Raman scattering study on anatase titanium dioxide nanocrystals" Journal of Physics and Chemistry of Solids 67 (2006) 2405-2408.
- [15] Gajovic A., Furic K., Tomasic N., Popovic S., Skoko Z., Music S., "Mechanochemical preparation of nanocrystalline TiO_2 powders and their behavior at high temperatures" Journal of Alloys and Compounds 398 (2005) 188-199.
- [16] Hearne G. R., Zhao J., Dawe A. M., Pischedda V., Maaza M., Nieuwoudt M. K., Kibasomba P., Nemraoui O., Comins J. D., "Effect of grain size on structural transitions in anatase TiO_2 : A Raman spectroscopy study at high pressure" Physical Review B70 (2004) 134102.
- [17] Li W.S., Shen Z. X., Feng Z. C., Chua S. J., "Temperature dependence of Raman scattering in hexagonal gallium nitride films", Journal of Applied Physics, 7 (2000) 87.

برداشت

با بررسی اثر واپستگی دمایی نانوبلورکها TiO_2 در فاز روتایل روی مدهای فعال رامان در دمای بالا با استفاده از داده‌های آزمایشی نشان داده شد که فرآیند سه فونون و چهار فونون و نیز انبساط دمایی به قدر کافی جابه‌جایی و پهن شدگی مدهای رامان را توصیف می‌کند. البته محاسبه پهن شدگی یا جابه‌جایی رامان با افزایش دما به طور دقیق ممکن نبوده و به عبارتی رامان با میزان سهم عوامل مختلف در پهن شدگی‌ها و جابه‌جایی‌ها را نمی‌توان به طور جداگانه محاسبه کرد. با نتایج به دست آمده از برونویابی، می‌توان نتیجه گرفت که برای بلورکها $M_1 TiO_2$ در فاز روتایل با توجه به مثبت بودن مقدار پدیده حاکم بر این جابه‌جایی و پهن شدگی فرآیند سه فونونی واپستگی دمایی است. اگر جابه‌جایی بسامدی در یک گستره کمتر باشد، می‌توان گفت که واپستگی دمایی جابه‌جایی بسامد در آن مد با سهم خالص حجم تعیین شده و جفت‌شدگی ناهماهنگ فونون‌های نوری با افزایش دما بسیار شدید شود.

مراجع

- [1] Halme J., "Dye-sensitized nanostructured and organic photovoltaic cells", Helsinki University of Technology Press, (2002).
- [2] Gurlo A., et al., "Metal Oxides, Chemistry and Applications", CRC, Taylor and Francis Group Germany, (2006).
- [3] Park Y.R., Kim K.J., "Structural and Optical Properties of Rutile and Anatase TiO_2 thin films", Thin Solid Films, 484 (2005) 34-38.
- [4] <http://www.sekisuijushi.co.jp>
- [5] Auger Jean-Claude, Barrera Ruben G., Stout Brian, "Optical properties of an eccentrically located pigment within an air bubble", Progress in Organic Coatings 49 (2004) 74-83.
- [6] Porkodi K., Arokiamary S. Daisy, "Synthesis and spectroscopic characterization of nanostructured anatase titania: A photocatalyst", Materials Characterization 58 (2007) 495-503.
- [7] Zhua Ke-Rong, Zhang Ming-Sheng, Honga Jian-Ming, Yin Zhen, "Size effect on phase transition sequence of TiO_2 nanocrystal", Materials Science and Engineering , A 403 (2005) 87-93.